

测绘新技术小丛书



刘基余

电磁波测距仪 的现状和发展

测绘出版社

测绘新技术小丛书

电磁波测距仪的现状和发展

刘 基 余

测绘出版社

目 录

§ 1	光速测量的启示	(1)
§ 2	量距不用尺	(5)
§ 3	巧法算距离	(10)
§ 4	电磁波测距仪的种类	(17)
§ 5	激光测距仪的发展及其前程	(22)
§ 6	几种典型的远程激光测距仪	(33)
§ 7	短程光波测距仪	(42)
§ 8	短程光波测距仪的应用问题	(53)
§ 9	多波测距仪	(62)
§10	发展中的微波测距仪	(74)

电磁波测距仪，广义而论，是以电磁波取代人们弯腰曲背地丈量距离的仪器；通俗而言，是光波测距仪和微波测距仪的总称。按照这两种定义，我们将电磁波测距仪分为三大家族两兄弟。从 1957 年的以白炽灯作载波源的 NASM-2A 型光电测距仪投入大地测量生产作业以来，光波测距仪已发展到了第三代：第一代产品是光电测距仪，第二代产品是激光测距仪和半导体测距仪，第三代产品是多波测距仪。以 10 厘米波作载波的 MRA-1 型微波测距仪和 NASM-2A 型光电测距仪同时投入大地测量的生产作业；在二十余年的发展过程中，微波测距仪虽有许多改进和提高，但在提高测距精度方面尚未取得重大突破，因此，它难以分代而论。

随着电磁波测距仪的迅速发展，它们的种类繁多，用途广泛：从陆地测距，发展到陆空和陆海；从始用于大地测量的生产作业，渗透到工程技术，勘测设计，水电建设，地球物理，地震预报，远程兵器，尖端科学，质子加速器等科技领域的应用；甚至应用光波测距仪测量炼钢炉膛壁的变化，以便不停地检测炼钢炉；在第二十届奥林匹克运动会上，还应用半导体测距仪测量了标枪等的投掷距离。应用如此广泛的电磁波测距仪，目前世界各国大概共拥有三万台左右。本书择其共同点，分类简述；奢望抓其本质，概述发展。

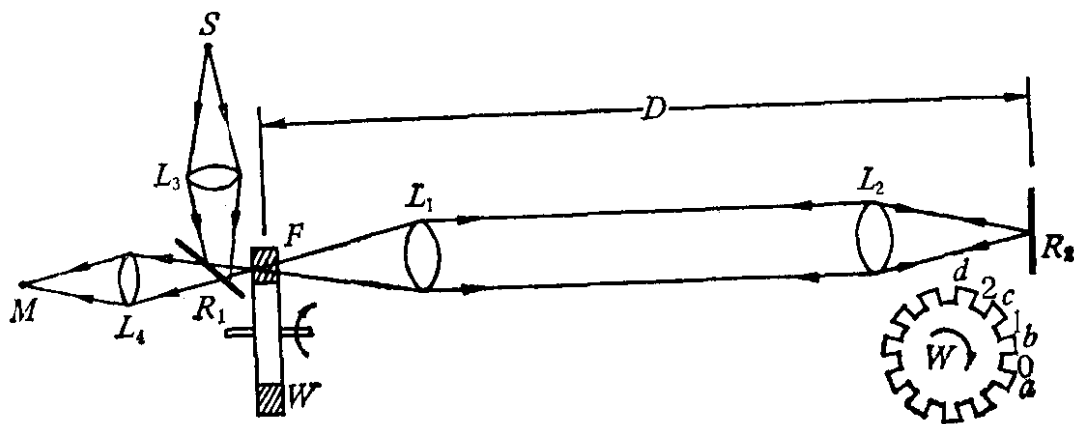
§ 1 光速测量的启示

早在 1607 年，意大利物理学家伽利略首次进行了光速

测量的试验，他令两个观测者各执一个灯笼，立于两个相距甚远的已知点上，观测者甲首先向观测者乙发出灯光，观测者乙则在观察到甲灯光的那一瞬间，立刻打开自己的灯光，于是，观测者甲测量他自己发出灯光及其观察到乙灯光之间的时间间隔，便按甲乙两者之间的已知距离而求得光速。伽利略的实验，虽然没有取得任何成果，但是，伽利略利用测量时间间隔而求得光速的设想，却为后人的实验奠定了理论基础。

1676年，丹麦天文学家勒麦尔从观测木星的卫星蚀中第一次测量了光速值，其值为 2.3×10^8 米/秒。这种以观测天体而测量光速的天文学方法，没有为更多的科学家所重视，而着眼于寻求测量光速的精密方法。直到十九世纪中叶，人们才开始了在陆地上精确测量光速的实验。

裴索是第一个不用天文学方法而测量光速的人；1849年，他在长达17公里的地面上，成功地测量了光速，其值为 315300 ± 80 公里/秒。裴索测量光速的方法，实质上与伽利略方法是一致的，只不过前者用反射镜代替了第二个观测者，以旋转齿轮代替了人工开关灯光。图（一）是裴索测量光速的实验装置示意图。光源S发出的光，经过透镜 L_3 和半镀银反光镜 R_1 ，而会聚于F点。在F点所处的平面内，



图（一） 裴索的齿轮法

置以一个旋转速度可调的齿轮 W , 后者的齿牙不透光, 仅齿隙通光; 若光线从齿隙 0 透射出去, 则经过透镜 $L_1 L_2$ 而到达反光镜 R_2 , 并由后者反射后, 沿入射光线的路径返回到 F 点, 观测者通过半镀银镜 R_1 而观测到回光。若旋转齿轮 W , 观测者所看到的回光由强变弱; 当齿轮的旋转速度增加到某一速度 V_1 时, 使得抵达 F 的回光恰好对准齿牙 b , 观测者就看不见回光, 称之曰“暗点”, 第一次出现“暗点”的时间则为

$$t_D = \frac{1}{2nR} \quad (1)$$

式中 n 为齿牙数, R 为齿轮每秒钟所旋转的圈数。而光线往返于 F 和 R_2 之间所需要的时间为

$$t_D = \frac{2D}{c} \quad (2)$$

式中 D 为 F 和 R_2 之间的距离, c 为光的传播速度。

从式 (1) (2) 可知

$$c = 4nRD \quad (3)$$

上式表明, 只要知道转速 R 、齿牙数 n 和距离 D , 便可求得光速值; 裴索就是按照这种“暗点”观测方法而测量光速的。反之, 若知道了光速值, 按式 (3) 不是可以求出待测距离 D 吗? 仿效齿轮法的原理, 苏联工程师维里奇柯和华西里也夫等人于 1953 年研制成功了 CBB-1 型光电测距仪, 只不过 CBB-1 仪器以改变测距频率取代了调节齿轮的旋转速度。这种变频式测距原理, 仍为现代的某些光波测距仪所应用。例如, 苏联的 CT-3 型激光测距仪则是其例。

随着科学技术的发展, 光速的测量精度越来越高, 裴索法(其误差为±80公里/秒)。本世纪五十年代, 先后出现了几

次精确测量光速的实验，而导致了人们公认真空光速值 $c_0 = 299792.5 \pm 0.4$ 公里/秒，这是 1957 年于加拿大召开的国际大地测量和地球物理联合会(IUGG) 第十一届全会所建议的*。在这几次精确测量光速的实验中，瑞典大地测量局大地测量学家贝尔格斯川博士的实验是卓有成效的；他根据西德卡洛鲁斯等人关于用光电方法测量光速的理论和实践，1941 年，于诺贝尔物理研究所开始了精确测量光速的实验，贝尔格斯川博士用高频信号调制白炽灯光的方法，在大地测量控制网的基线上，对光速进行了精确测量，而于 1943 年获得首批成果，同年发表了“用高频调制光测量距离”的著名论文，在这篇远见卓识的论文里，贝尔格斯川博士根据自己测量光速的成功实验，提出了应用光电方法测量距离的设想。此后，他继续进行研究和实验，终于在 1947 年发展成为著名的 Geodimeter (Geodetic Distance Meter 的缩写) 原理；同年，贝尔格斯川博士与瑞典 AGA 仪器公司合作，研制成功了一种用白炽灯光作载波（运载测距信号的工具）和高频（10 兆赫）调制波为测距信号的测距仪，命名为 Geodimeter (大地测距仪)；这种以白炽灯作载波源的测距仪，我国叫做光电测距仪（早期称为光速测距仪）。1953 年，AGA 公司试制成功了世界上第一台远程光电测距仪，其型号称作 NASM-1。这种仪器于 1955 年被改进的 NASM-2 型光电测距仪所取代。1957 年商品化的 NASM-2A 型光电测距仪问世了，它被批量生产而销售世界各国。AGA 公司的光电测距仪，从样机到定型投产，经历了整整十年的不断改进和提高，才赢得

* 1975 年 8 月，国际大地测量学会 (IAG) 于法国召开的第十六届全会，建议采用新的真空光速：

$$c_0 = 299792458 \pm 1.2 \text{ 米/秒}$$

了世界名牌产品的声誉。

§ 2 量距不用尺

精确地测定两点间的距离，是经济建设、国防建设和科学的研究中一项颇为重要的工作。边长，是测量工作中最基本的观测元素之一，不测量一定数量的边长，就无法建立测量工作的基础——大地控制网。

在光电测距仪问世以前，距离的精确测量主要是依靠人们弯腰曲背地用长约 24 米的因瓦基线尺一尺一尺地丈量。这种基线测量方法，要求选择和布设平坦开阔的测线场地；为了达到建立大地控制网的应用目的，还需测量一定的几何图形，平差计算基线网的观测成果。这样测量一条一等三角起始边，不仅需要耗费大量的人力、物力和财力，而且对于地形复杂的地区，基线测量是十分困难的。因此，在经典大地测量中尽可能地少作距离测量，而利用角度观测值推算所需要的边长。

NASM-2A 型光电测距仪的问世，使人们从繁重的基线测量中解放出来。应用 NASM-2A 仪器，既不要选择和布设平坦开阔的量距路线，又不要观测和计算复杂的基线网；只要在测线的一端架设仪器，另一端安置一个反光镜，就可以直接测量待测距离。NASM-2A 仪器的夜间最大作用距离为 30 公里左右，外部符合精度约为 1:350 000。因此，它可用来直接测量三角锁、网的起始边，亦可用它布设测边测角三角锁，或在旧三角锁、网中加测若干起始边，以提高三角锁、网的精度；在高山、森林和沼泽等难以布设三角锁、网的困难地区（如我国的青藏地区），可用光电测距仪测设精密导线。

光电测距仪的问世，为人们开创了距离测量的新途径。

光电测距仪是怎样测得待测距离的呢？这是我们甚为关注的问题。也许你有这样的生活实践：当你面向高山用双手在嘴上合成一个圆筒形喇叭，大声而又短促地呼叫时，声音便从呼叫的地方出发，向高山的方向传播出去，倾刻，声音又从高山那里反射回来，传到你的耳朵里，于是你听到了回声。如果你记录了声音从“出发”到“返回”所经历的时间，又知道声音的传播速度，那么马上可以算出人与高山之间的距离。光电测距仪的工作原理与“回声测距法”大体相似，只不过前者以调制光（光强按一定规律变化的光）代替声音，应用发送设备代替人的呼叫，而用接收设备间接地测量测距信号往返于测线的传播时间。根据式（2）可知，两倍的待测距离等于测距信号往返于测线的传播时间 t_D 与光速 c 之积，亦即

$$D = \frac{1}{2}ct_D \quad (4)$$

NASM-2A 仪器，不是直接测量传播时间，而是通过测量测距信号往返于测线的滞后相位 φ_D （因待测距离 D 所引起的相位移叫做滞后相位）求得待测距离的；根据相位的定义，滞后相位 φ_D 等于测距信号的角频率 Ω 乘以传播时间 t_D ，亦即 $\varphi_D = \Omega t_D$ ，故知

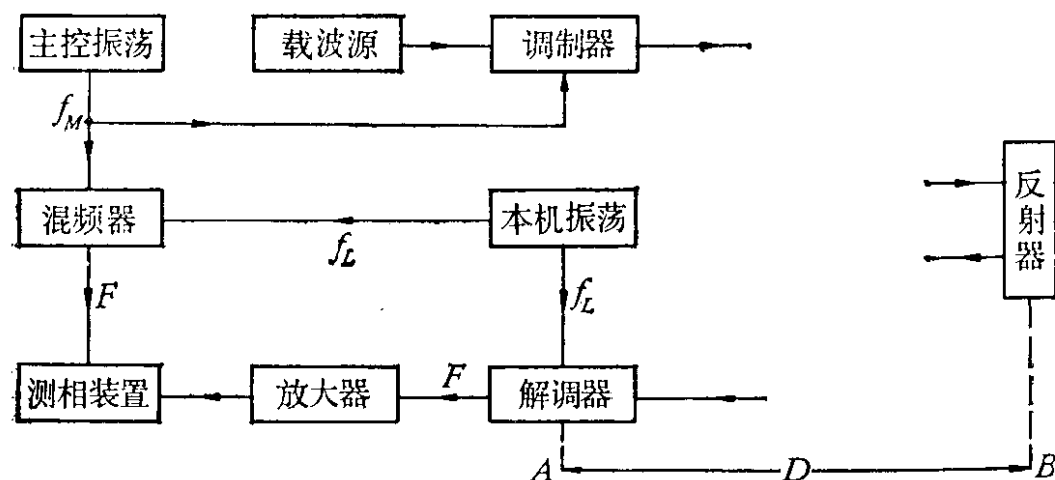
$$t_D = \frac{\varphi_D}{\Omega} \quad (5)$$

将式（5）代入式（4），并考虑到 $\Omega = 2\pi f$ （此外 f 为测距信号的频率），则有

$$D = \frac{\varphi_D}{4\pi f} \cdot c \quad (6)$$

上式中的测距频率 f 是已知的，按照仪器所测得的滞后相位

φ_D 便可算得待测距离；这和根据式（4）所算得的结果是完全相同的。由此观之，电磁波测距仪既可以应用直接测定传播时间的方法，又可以应用测量滞后相位的方法而求得待测距离。用于精确测量距离的电磁波测距仪，多采用测量滞后相位的方法；这种类型的仪器叫做相位式测距仪，式（6）是它的基本求距公式，图（二）是它的基本结构。



图（二） 相位式测距仪的基本结构

图（二）表示仪器置于测线的 A 端点，反射器置于测线的 B 端点。在应用光波作载波的情况下，载波源就是一个光源，反射器就是反光镜，解调器是一个光电转换器件（如光电倍增管）。现以光波测距仪为例，说明相位式测距仪的工作原理。从图（二）可见，主控振荡器所产生的频率为 f_M 的测距信号加到调制器，当载波源发射的光线通过调制器时，光波的振幅就受到测距信号的调制，而变成一种光强（它与振幅的平方成正比）按测距信号规律而变化的光，这种光叫做调制光。后者发向置于测线彼端的反射器；调制光经过待测距离 D 而到达反射器，并由后者将它反射送回测站。经过了两倍距离的调制光被送到解调器，在解调器上还加入了频率为 f_L 的本机振荡信号，因此，解调器既将回光的强弱变

化转换成电流变化，而从调制光中“取出”测距信号，又将高频测距信号经过解调器的混频作用而变成一个频率为 $F (= f_M - f_L)$ 的低频信号，后者叫做被测信号，它携带着测距信号往返于测线所产生的滞后相位；这个被测信号经过放大器而进入测相装置。主控振荡器所产生的测距信号，还有极少部分加到混频器，与来自本机振荡器的本振信号相混频，而得到一个和被测信号同一频率 F 的低频信号，它是相位测量的基准，故称之为基准信号，后者亦送入测相装置。在测相装置中，对被测信号和基准信号进行相位比较，并测量出两者的相位差；在不顾及仪器内部相移的情况下，后者就是测距信号往返于测线的滞后相位 φ_D 。测得了 φ_D ，则可按式（6）求得待测距离 D 。

在一般情况下，测距频率较高（波长较短），而待测距离又较长，相位是以 2π 为周期的，它的一个周期 (2π) 相应于一个波长；当测距频率为 15 兆赫(波长则为 20 米)时， 3600° 的滞后相位，按照式 (6) 求得的相应距离为 100 米；因此，滞后相位 φ_D 一般等于 N 个整周期和不足一个周期的零头 $\Delta\varphi$ ，亦即

$$\varphi_D = N \cdot 2\pi + \Delta\varphi \quad (7)$$

将上式代入式 (6) 可得

$$\begin{aligned} D &= \frac{c}{4\pi f} (N \cdot 2\pi + \Delta\varphi) \\ &= \frac{c}{2f} \left(N + \frac{\Delta\varphi}{2\pi} \right) \\ &= \frac{1}{2} \lambda (N + k) \\ &= u(N + k) \end{aligned} \quad (8)$$

式中 λ 为测距信号的波长 (它等于 c/f) , $u = \frac{1}{2}\lambda$, 叫做单位长度, $k = \Delta\varphi/2\pi$, 它是一个小于 1 的系数。

式 (8) 表明, 电磁波测距的实质也是一种“线尺量距法”, 只不过电磁波测距仪所用的“线尺”, 是一种不需人工操作的看不见摸不着的“电尺” (u), 用电尺去“丈量” AB 两点间的距离 D 时, 有 N 个“整尺段” 和不足一个尺段的零头, 后者叫做剩余长度。如果按照往返程将电尺的量距结果予以展开, 则如图 (三) 所示; 因为在往返程的情况下,

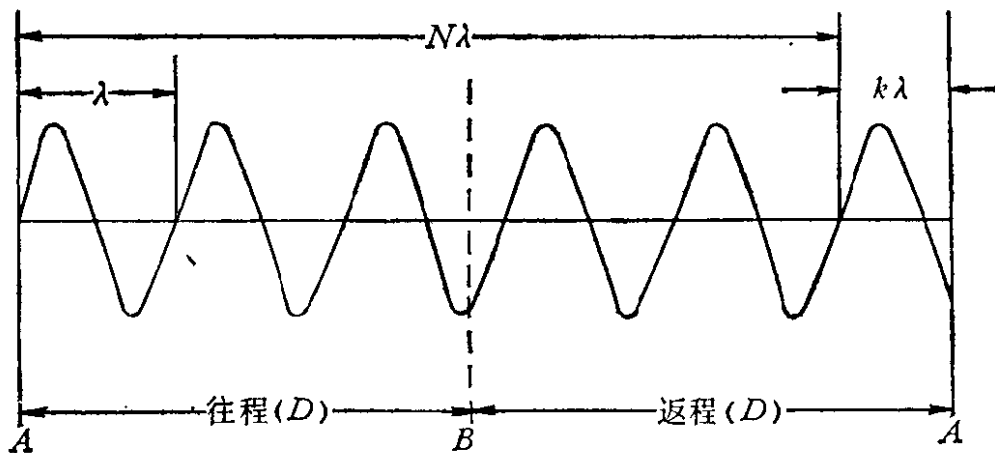


图 (三) 电尺量距

“电尺”的长度是一个波长, 所以“整尺段”数 N 叫做波数。在一般情况下, 波数 N 是不能由仪器直接测量出来的; 仪器只能直接测量出来不足一个波数的零头。如果仪器仅仅用一个测距频率, 那么它就不能分辨出“零头”相同的不同距离, 这就叫做“多值性”。例如, 有尾数相同的三条距离: $D_1 = 9006.342$ 米, $D_2 = 11006.342$ 米, $D_3 = 10006.342$ 米; 如果仪器仅用一个 15 兆赫的测距频率, 不管仪器在那一条距离上进行测量, 它只能直接测得 6.342 米, 而无法确定所测距离是 D_1 ? 还是 D_2 ? 或是 D_3 ? 若要解决测距成果的这种多值性, 必须

设法解算波数 N 。

§ 3 巧法算距离

在几百种远、中、短程光波测距仪中，解算波数 N 的方法可以归纳为变频、定频、混合三大方法，现简要介绍于后。

一 变频解算法

采用变频法解算波数 N 的光波测距仪，叫做变频式光波测距仪，这种仪器的测距频率可在一定范围内（如9.6兆赫—10.4兆赫）均匀变化，它利用均匀调变测距频率的方法，迫使式（8）中的 k 值等于零，进而测得待测距离。这好像手头有许多长短不同的尺子，当用这些尺子测量一条距离时，总可以选择几把尺子，恰好将待测距离丈量成整倍数的尺长，而无“零头”。例如，手中有长为6米、5米和3.75米的三把尺子，当丈量一条105米的距离时，用6米尺量不尽（ $k=0.5$ ），而用5米和3.75米尺子却刚刚量尽（ $k=0$ ），此时待测距离分别为 21×5 米和 28×3.75 米。变频式光波测距仪是这样选择长度合适的电尺测量距离的：当用它测量一条待测距离时，首先于测距频率可变范围的低端（如9.6兆赫）附近调变测距频率，致使待测距离

$$D = \frac{1}{2} N \lambda_L = \frac{Nc}{2f_L} \quad (9)$$

此时，接收系统中观测到的来自反光镜的回光最暗，同时于频率计上读取频率 f_L 值。然后再逐渐调变测距频率，接收系统中的回光随之调变而由暗变亮，由亮变暗；若将回光从最暗到最亮再到最暗，叫做一个暗点变化周期；当测距频率均匀调变到高端（如10.4兆赫）附近时，暗点变化了 n 个

周期，此时则有

$$D = \frac{c}{2f_H} (N + n) \quad (10)$$

并于频率计上测得频率 f_H ，暗点变化周期数 n 是在调变测距频率过程中直接观测到的。故可按照式 (9) (10) 而求得波数

$$N = \frac{nf_L}{f_H - f_L} \quad (11)$$

算得波数 N 以后，便可按式 (9) 求得待测距离 D 。苏联研制的 CBB-1 型光电测距仪，是变频式光波测距仪的第一代产品。现代的光波测距仪只有少数采用变频法解算波数 N ，而且将人眼直接观察回光的亮暗变化，改用光电法测量暗点，因此，仪器的观测速度和测距精度均有了较大的提高。例如，苏联的 CI-3 型变频式激光测距仪，测量 20 公里时，可以达到 1:400 000 的精度。

二 定频解算法

定频法，是应用两个以上的固定不变的测距频率，直接测得不足一个单位长度 u 的剩余长度，而通过一定方法解算波数 N 。采用定频法解算波数 N 的光波测距仪，叫做定频式光波测距仪。解算波数 N 的定频法又分为十进扩大法、递增扩大法和低频扩大法。

1 十进扩大法

解算波数 N 的十进扩大法，是应用四个以上的逐个减小的测距频率，致使单位长度 u_1 逐级放大 10 倍，以此构成一个十进制读数系统，从而将求解波数 N 的问题转化为解算波数差。例如，JCY-2 激光测距仪、MA-100 红外测距仪和 Georan-1 双色激光测距仪等均采用十进扩大法。

如果十进扩大法应用五个测距频率，且知 $f_1 > f_2 > f_3 > f_4 > f_5$ ，而各个频率的相应波长为 $\lambda_1 < \lambda_2 < \lambda_3 < \lambda_4 < \lambda_5$ 。当用这五个测距频率测量一条距离时，根据式（8）可得到下列方程组：

$$\left. \begin{array}{l} D = u_1(N_1 + k_1) \\ D = u_2(N_2 + k_2) \\ D = u_3(N_3 + k_3) \\ D = u_4(N_4 + k_4) \\ D = u_5(N_5 + k_5) \end{array} \right\} \quad (12)$$

式中单位长度 u_i ($i = 1, 2, 3, 4, 5$) 是相应于测距频率 f_i 的二分之一波长或四分之一波长（因仪器不同而异），一般 $u_i \leq 10$ 米；仪器直接测得的剩余长度是不足一个 u_i 的，待求的波数 N_i 是一个较大的数；为了将求解波数 N_i 的问题转化为解算波数差，将式（12）作一些适当的变换，而推导出十进扩大法的实用公式：

$$\left. \begin{array}{l} D = n_{02}u_1[(N_1 - N_2) + (k_1 - k_2)] \\ D = n_{03}u_1[(N_1 - N_3) + (k_1 - k_3)] \\ D = n_{04}u_1[(N_1 - N_4) + (k_1 - k_4)] \\ D = n_{05}u_1[(N_1 - N_5) + (k_1 - k_5)] \\ D = u_1[N_1 + k_1] \end{array} \right\} \quad (13)$$

式中 $n_{0j} = \frac{f_1}{f_j - f_1}$ (14)

上式中的 $j = 2, 3, 4, 5$ ；按照十进扩大法的定义，则知放大系数 $n_{05} = 10$, $n_{04} = 100$, $n_{03} = 1000$, $n_{02} = 10000$ 。因此，当 $u_1 = 2.5$ 米时，从式（13）可知，仪器能够直接测得的最大距离——解算周期是 25 公里。这样，就将原来求解 2.5 米的整倍数问题转化为解算 25 公里的整倍数，亦即，不需要

知道待测距离有多少个 2.5 米，只要知道待测距离有多少个 25 公里，这是极容易做到的。

2 递增扩大法

NASM-2A 型光电测距仪是创用递增扩大法的，现代的 AGA 型远中程光波测距仪仍应用递增扩大法。这种方法是应用彼此存在一定比例关系的三个以上的测距频率，致使单位长度 u_1 逐级放大一定的倍数，以此构成一个分级解算距离的系统，从而将求解波数 N 的问题转化为解算波数差。

如果递增扩大法应用三个测距频率，且知 $f_1 < f_2 < f_3$ ，而各个频率的相应波长为 $\lambda_1 > \lambda_2 > \lambda_3$ 。当用这三个测距频率测量一条距离时，则有下列三个测距方程：

$$\left. \begin{array}{l} D = N_1 u_1 + L_1 \\ D = N_2 u_2 + L_2 \\ D = N_3 u_3 + L_3 \end{array} \right\} \quad (15)$$

式中剩余长度 $L = ku$ ，单位长度 $u_i (i = 1, 2, 3)$ 是相应于测距频率 f_i 的四分之一波长或者二分之一波长（因仪器不同而异）；因为测距频率一般在 10 兆赫以上，所以 $u_i \leq 15$ 米。仪器只能直接测得不足一个单位长度的距离——剩余长度 L_i ，为了简化波数 N 的解算，便将式 (15) 予以适当变换，而推导出递增扩大法的应用公式：

$$\left. \begin{array}{l} D = n_{02} u_1 [(N_2 - N_1) + K_{12}] \\ D = n_{03} u_1 [(N_3 - N_1) + K_{13}] \\ D = u_1 [N_1 + K_1] \end{array} \right\} \quad (16)$$

式中

$$n_{0i} = \frac{f_i}{f_i - f_1} \quad (17)$$

$$K_{12} = \frac{n_{02}(L_2 - L_1) + L_2}{n_{02}u_1}$$

$$K_{13} = \frac{n_{03}(L_3 - L_1) + L_3}{n_{03}u_1}$$

式(17)中的 $j=2.3$,一般采用 $n_{03}=20$, $n_{02}=400$ 。因此,当 $u_1=5$ 米时,从式(16)可知,仪器的解算周期为2公里,亦即,用三个测距频率测量距离时,需要知道待测距离为2公里的多少倍。为了扩大解算周期,通常还增设一个测距频率 f_4 ,AGA-8型激光测距仪即如此;在AGA-8仪器中,取 $n_{04}=f_3/(f_3-f_4)=10000$,因此,AGA-8仪器的解算周期是近于50公里。仪器能直接测量50公里以内的距离,这对于实际应用是很有利的。

3 低频扩大法

短程光波测距仪大多数采用低频扩大法解算波数 N 。这种方法是采用二个以上的测距频率,其一为高频,通常叫做精测频率,它是用于测定待测距离的米位及其以下的数,其余的测距频率为“低频”,常曰粗测频率,它是用于测定待测距离的十米位以上的数,亦即,高频定精度,低频测大数。

如果低频扩大法采用三个测距频率,彼此之间相差较大;例如EOT-2000型仪器的三个测距频率如下:

$$f_F = 14.985570 \text{ 兆赫}$$

$$f_{c1} = 1.498557 \text{ 兆赫}$$

$$f_{c2} = 74.928 \text{ 千赫}$$

当用三个测距频率测量一条距离时,则有如下测距方程式:

$$\left. \begin{array}{l} D = u_{c2}(N_{c2} + K_{c2}) \\ D = u_{c1}(N_{c1} + K_{c1}) \\ D = u_F(N_F + K_F) \end{array} \right\} \quad (18)$$

对于EOT-2000仪器而言, $u_F=10$ 米, $u_{c1}=100$ 米, $u_{c2}=2000$ 米;因为 $K<1$,故用精测频率 f 只能测量10